

آنالیز و طراحی پیشرفته واکسن کُبرا (آنتی ژن وسیع الطیف بهینه شده با روش های محاسباتی) برای پروتئین Bm86 معدی کنه های آنولاتوس و میکروپولوس جنس ریپی سفالوس

غلامرضا کریمی^۱، محمدمهدی رنجبر^{۲*}، نائبعلی احمدی^۳، سجاد یزدان ستاد^۴

• پذیرش مقاله: ۱۳۹۸/۲/۲۲

• دریافت مقاله: ۱۳۹۷/۱۱/۵

مقدمه: گونه های کنه ریپی سفالوس سبب ضررهای اقتصادی قابل ملاحظه ای در ایجاد بیماری در حیوانات و همچنین انسان می شوند. Bm86 که یک پروتئین معدی کاندید واکسن می باشد توالی آن در بین جدایه های گونه های ریپی سفالوس از نظر جغرافیائی جدا از هم، متغیر و دلیل اصلی کاهش اثربخشی و شکست واکسن های نو ترکیب است.

روش: در این مطالعه بیوانفورماتیکی توالی های انگل های ریپی سفالوس میکروپولوس و آنولاتوس استخراج، هم ردیف و اصلاح گردیدند. سپس نمودار تغییر پذیری و درخت فیلوژنتیک برای آن ها ترسیم شد. سپس گروه بندی و علامت گذاری تاکسون ها جهت طراحی واکسن تکاملی، آنتی ژن کُبرا، مرکز درخت و اجدادی صورت گرفت. همچنین بر روی توالی های واکسنی کُبرا آنالیزهای مدل سازی و آزمون بر هم نهی انجام گرفت.

نتایج: در دو گونه میکروپولوس و آنولاتوس، بیشترین تغییری پذیری به ترتیب در حدود آمینواسیدهای ۱۷۷ تا ۱۸۱، ۲۷۰ تا ۲۷۶ و ۳۵۱ تا ۳۵۲ مشاهده گردید. ۶ توالی به عنوان توالی مناسب جهت طراحی واکسن تکاملی و ۱۲ توالی نیز جهت هم ردیفی مجدد و بدست آوردن توالی مورد توافق جهت طراحی آنتی ژن کُبرا استفاده گردید. از سوی دیگر توالی مربوط به ریپی سفالوس آنولاتوس در شاخه های خواهری بوده و بیشتر به یکدیگر شبیه بودند تا به توالی های BM86 ریپی سفالوس میکروپولوس، به جزء توالی ADQ19687. توالی های انتخابی جهت طراحی واکسن بر مبنای مرکز درخت و اجدادی نیز به ترتیب از توالی های AJE29931، AJE29932 و ATW75472 و توالی های ATW5476، ADM86722، ACZ55133 معرفی شدند.

نتیجه گیری: واکسن ضد کنه ای مبتنی بر روش کُبرا برای Bm86 می تواند وسیع الطیف تر، مقرون به صرفه تر و جایگزین بهتری در مقایسه با واکسن های نو ترکیب فعلی باشند.

کلید واژه ها: کنه ریپی سفالوس، میکروپولوس، آنولاتوس، واکسن، کُبرا

• **ارجاع:** کریمی غلامرضا، رنجبر محمدمهدی، احمدی نائبعلی، یزدان ستاد سجاد. آنالیز و طراحی پیشرفته واکسن کُبرا (آنتی ژن وسیع الطیف بهینه شده با روش های محاسباتی) برای پروتئین Bm86 معدی کنه های آنولاتوس و میکروپولوس جنس ریپی سفالوس. مجله انفورماتیک سلامت و زیست پزشکی ۱۳۹۸؛ ۶(۲): ۱۴۰-۱۵۱.

۱. دکتری تخصصی انگل شناسی، استادیار، مؤسسه تحقیقات واکسن و سرم سازی رازی، سازمان تحقیقات، آموزش و ترویج کشاورزی، کرج، ایران

۲. دکتری تخصصی ایمنی شناسی، استادیار، مؤسسه تحقیقات واکسن و سرم سازی رازی، سازمان تحقیقات، آموزش و ترویج کشاورزی، کرج، ایران

۳. دکتری تخصصی انگل شناسی، استاد، دانشکده پیراپزشکی، دانشگاه علوم پزشکی شهید بهشتی، تهران، ایران

۴. دکتری تخصصی میکروپولوس شناسی، مؤسسه تحقیقات واکسن و سرم سازی رازی، سازمان تحقیقات، آموزش و ترویج کشاورزی، کرج، ایران

* **نویسنده مسئول:** کرج، سازمان تحقیقات، آموزش و ترویج کشاورزی، مؤسسه تحقیقات واکسن و سرم سازی رازی

مقدمه

کنه‌های ریپی سفالوس یا با نام قدیمی آن بوفیلیوس (*Rhipicephalus or Boophilus*)، کنه‌هایی خون‌خوار اجباری می‌باشند که می‌توانند سبب ایجاد خسارات اقتصادی سالانه میلیون دلاری و انتقال برخی از عوامل بیماری‌زا از جمله بابزیا و آناپلازما به دام‌ها گردند [۱،۲]. منطق توسعه واکسن مبتنی بر آنتی‌ژن کنه‌ای بر اساس این مشاهده است که در معرض قرارگیری مجدد گونه‌های به‌خصوصی از حیوانات به گزش کنه منجر به عدم توانایی کنه در به دست آوردن موفق غذای خونی در این حیوانات می‌شود، پدیده‌ای که تحت عنوان ایمنی کنه (Tick immunity) نامیده می‌شود [۳]. این حیوانات افزایش حساسیت را به کنه بعد از گزش‌های مکرر نشان می‌دهند و به‌طور ناقص محافظتی را علیه پاتوژن‌های با عامل کنه‌ای نشان می‌دهند [۴].

نتایج بسیار مؤثری از واکسن نوترکیب Bm86 در کاهش تعداد *Rhipicephalus microplus* به واسطه عدم تغذیه (غذاخوری) موفق انگل به دست آمده است که منجر به عدم وزن‌گیری مناسب و کاهش در oviposited eggs می‌شود. همچنین مطالعات نشان داده این واکسن‌ها می‌توانند انتقال گونه‌های مختلف بابزیا (به‌خصوص گونه bovis) را کاهش دهند [۵]. از این‌رو تنها واکسن تجاری ضد وکتوری ثبت شده علیه کنه‌ها در بین واکسن‌های دامپزشکی، بر اساس آنتی‌ژن Bm86 معدی *Rhipicephalus microplus* (Boophilus microplus) است [۵،۶]. این واکسن به صورت TickGARD Plus در بازار در دسترس است و در آمریکای لاتین استفاده می‌شود [۷]. همچنین مطالعات نشان داده است که واکسن مبتنی بر Bm86 بر روی غذاخواری در سایر گونه‌های مختلف کنه نظیر: *Rhipicephalus annulatus*، *Hyalomma decoloratus*، *Rhipicephalus anatolicum* و *Hyalomma dromedarii* در گاو ایمن شده مؤثر بوده است؛ اما مطالعاتی نیز نشان داده‌اند که این موفقیت در *R. microplus* در کنترل جمعیت *Amblyomma cajennense ricinus* و *Amblyomma variegatum* و *Rhipicephalus appendiculatus* مؤثر نبوده است [۳]. امروزه در فرآیند تولید واکسن به دلایل بی‌خطر بودن، آلرژن‌سیتی و تمرکز پاسخ ایمنی از واکسن‌های نوترکیب استفاده می‌گردد که قادر به تولید پاسخ ایمنی علیه پاتوژن مورد نظر به‌طور اختصاصی باشند [۸].

با در دست داشتن اطلاعات کافی، دسترسی به فن‌آوری‌های جدید شناسایی، الگوریتم‌های طبقه‌بندی شده و ابزارهای محاسبه‌ای که مناطقی با تغییر بالا را در پروتئین بررسی کرده و توالی مورد توافق را پیش‌بینی می‌کنند، تقریباً با احتمال بالا می‌توان توالی یا توالی‌های حاصل برآیند دسته داده توالی‌ها را در پروتئین مورد نظر شناسایی کرد و به آنتی‌ژن‌ها و سوش‌های واکسن مناسب دست یافت.

واکسن‌های متعددی را می‌توان با روش‌های ایمونوفورماتیک طراحی کرد و از آن جمله می‌توان به واکسن‌های پلی‌تویی (پلی‌ای‌توپیک، اپیتوپیک یا پپتیدهای متصل شده به یکدیگر) (mosaic vaccines)، واکسن‌های موزائیکی (mosaic vaccines)، واکسن‌های پپتیدی (peptide vaccines) آنتی‌ژن‌های وسیع‌الاثربهینه‌سازی شده با روش‌های محاسباتی یا به اختصار کُبرا (computationally optimized broadly reactive) طراحی واکسن تکاملی (antigen(s) (COBRA)-based design evolutionary vaccine design) سیستم (system) و شجره‌ای و ... نام برد [۹]. روش طراحی واکسن مبتنی بر اصول کُبرا یکی از جدیدترین و قوی‌ترین روش‌های طراحی واکسن مخصوصاً برای اجرام و پروتئین‌های متغیر و بسیار متغیر می‌باشد که در سال‌های اخیر توانسته به توسعه مناسبی دست یابد [۱۰].

طراحی واکسن با توالی‌های متمرکز شده (Centralized sequences) با سه روش صورت می‌گیرد که عبارت‌اند از: روش مرکز درخت یا COT (center-of-the-tree)، روش اجدادی (ancestral) (نزدیک‌ترین جد مشترک یا the most recent common ancestor) و روش مورد توافق (Consensus) (معمول‌ترین آمینواسیدی که در هر پوزیشن یافت می‌شود) یا روش کُبرا [۱۰] در بین این سه روش مورد توافق نتایج بهتری را ارائه می‌دهد و در این مطالعه از این روش جهت طراحی و مهندسی پروتئین آنتی‌ژن نوترکیب کُبرا با قابلیت استفاده به‌صورت ایده‌آل جهت واکسن و مصارف تشخیصی استفاده شد.

روش

جمع‌آوری داده‌ها، دسته‌بندی توالی‌ها و هم‌ردیفی توالی‌ها

با روش‌های بیوانفورماتیکی توالی‌های کامل مربوط به پروتئین Bm86 از پایگاه داده (National center for

سپس از هر خوشه از درخت توالی به نمایندگی جهت طراحی نسل کُبرا انتخاب شد. همچنین با تفسیر درخت توالی‌های مناسب ساخت واکسن‌های تکاملی و شجره‌ای (سوش‌های اجدادی و سوش‌های نوظهور) انتخاب شدند.

به دست آوردن توالی مورد توافق (Consensus)

توالی هم‌ردیف و پیرایش شده با استفاده از روش حد آستانه (Threshold) و اکثریت (Majority) تکرار مورد ارزیابی قرار گرفته و توالی مورد توافق برای سرخوشه‌های انتخابی در درخت فیلوژنی به دست آمد.

مدل‌سازی، بهینه‌سازی انرژی و اعتبارسنجی ساختار سه بعدی پروتئین

(Basic Local Alignment Search Tool) BLASTP [۱۴] و PSI-BLAST [۱۵] در پایگاه مرجع پروتئین (PDB- Protein Data Bank) جهت انتخاب بهترین الگو (توالی همولوگوس) و طراحی ساختار سه‌بعدی BM86 (3D) به روش مدل‌سازی همسان (هومولوژی مدلینگ) استفاده می‌گردد. در انتخاب الگو معیارهایی نظیر حد تمیز (resolution) پایین‌تر از ۳ آنگستروم مربوط به کریستالوگرافی اشعه ایکس، R-value پایین‌تر از ۰/۳، شباهت بالای ۳۵ درصد الگو با توالی مورد مطالعه و E-value پایین اعمال می‌شود. همچنین که توالی مورد هدف (توالی آل) و الگوی انتخاب شده واجد هم‌ردیفی ساختاری مناسبی با ارزش‌های RMSD (Root-mean-square deviation) پایین باشند. به کارگیری این نکات سبب افزایش اعتبار و اطمینان‌پذیری مدل‌سازی می‌شود. بعد از هم‌ردیفی نزدیک‌ترین توالی پیدا شده این توالی با توالی مورد تحلیل در این مطالعه مورد هم‌ردیفی قرار گرفته و از برنامه Phyre جهت ساخت ساختار سه‌بعدی و فضایی از روی الگو استفاده گردید. جهت نمایش ساختار سه‌بعدی پروتئین‌ها، بهینه‌سازی انرژی و اعتبارسنجی آن‌ها از امکانات برنامه‌های Chimera UCSF و SwissPdbviewer 4 (http://spdbv.vital_it.ch) بهره‌گیری شد.

پروتئین اولیه و پروتئین ثانویه حاصل از توالی مورد توافق (Consensus) با استفاده از امکانات برنامه اینترنتی I-TASSER مورد مدل‌سازی قرار گرفته سپس با برنامه Chimera 1.11 از نظر ساختاری و بهینه‌سازی انرژی بررسی گردید. سپس این دو ساختار مدل‌سازی شده از نظر اعتبارسنجی از پلات رامانچاندران (Ramachandran plot) مورد ارزیابی قرار گرفتند [۱۶].

NCBI (Biotechnology Information) به نشانی (<http://ncbi.nlm.nih.gov/>) برداشت و دسته‌بندی شدند. سپس با استفاده از الگوریتم Clustal w2 سرور T-coffee مورد هم‌ردیفی قرار گرفته و نتایج در برنامه Bioedit 7.7.9 مورد پیرایش و اصلاحات مورد نیاز قرار گرفت. این اصلاحات شامل ترمیم نقاط واجد X (مشخص نبودن آمینواسید در آن نقطه) و کامل نبودن برخی نقاط و گپ‌ها بود. همچنین توالی‌ها هم طول گردیده، توالی‌های ناقص کوتاه حذف و نقاط با هم‌ردیفی مبهم اصلاح گردیدند.

ترسیم منحنی‌های تغییرپذیری

از روش The Shannon entropy analysis، Wu-Kabat variability و Simpson index coefficient جهت ارزیابی تغییرپذیری و یافتن نواحی جهش‌پذیر/محافظت‌شدگی در میان توالی استفاده شد [۱۱]. در این میان روش شانون نسبت به دو روش دیگر واجد حساسیت بیشتری است. سرور این آنالیز تغییرپذیری توالی در یک هم‌ردیف چندگانه توالی را با استفاده از معیارهای تغییر اندازه‌گیری می‌کند.

پیشگویی نواحی گلیکوزیلیشن و سیگنال پپتید

برای پیشگویی نواحی N-Linked گلیکوزیلیشن (N-Linked Glycosylation Sites) که از تغییرات بعد از ترجمه بر روی پروتئین‌ها بوده و در ایمن‌زایی پروتئین نقش بسزائی دارد، از امکانات NetNGlyc 1.0 Server استفاده گردید. گلیکوزیلیشن این نواحی پروتئین می‌تواند به‌طور مؤثری در افزایش پاسخ ایمنی اختصاص (آنتی‌بادی‌ها و در مسیر پردازش MHC کلاس ۱) مؤثر باشد [۱۲].

ترسیم درخت فیلوژنی، گروه‌بندی، تفسیر و انتخاب توالی‌ها

توالی‌های هم‌ردیف شده در برنامه MEGA X (آخرین نسخه برنامه MEGA یا MEGA 8) وارد شده، با استفاده از روش آماری حداکثر درست‌نمایی (Maximum Likelihood-ML)، آزمون درخت Bootstrap و تکرار ۱۰۰، مدل جایگزینی انتخابی (Jones-Taylor-Thornton) JTT مورد آنالیز قرار گرفت. همچنین در پیرایش پی از درخت قسمت‌های واجد گپ و ناقص به صورت حذف کامل بود [۱۳]. در ادامه گزینه انتخابی استنتاج درخت (Tree Inference) در میان روش‌های Nearest-ML Heuristic، Nearest-ML (Nearest-Neighbor-Interchange) NNI بوده و درخت اولیه برای ML با روش NJ/BioNJ انتخاب شد.

مشکل آن نواحی را مرتفع می‌سازد.

فیلوژنی مولکولی در شناسایی سوش واکسینال و آنتی ژن کبرا

درخت (شکل ۲) ۵ خوشه قابل تفریق وجود دارد که در این میان بر اساس اطلاعات قابل تفسیر درخت، به نظر می‌رسد توالی‌های با شماره دسترسی AJE29931، AJE29932، ACZ55133، ABY58965، ATW75467، ADM86722 (که با علامت ▲ مشخص شده‌اند) و همچنین AAW72947 (توالی نوظهور این پروتئین) به‌عنوان توالی مناسب جهت طراحی واکسن تکاملی و توالی‌های با شماره دسترسی ADQ19687، AJE29929، AJE29926، AJE29934، AJE29951، AJE29941، ATW75472، ADQ19680، ACA57829، AAW31854، AAU95763 و AAW72958 (مشخص شده با علامت ●) جهت هم‌ردیفی مجدد و به دست آوردن توالی مورد توافق جهت طراحی آنتی ژن کبرا استفاده گردید. همچنین توالی مربوط به ریپی سفالوس آنولاتوس در شاخه‌های خواهری بوده و بیشتر به یکدیگر شبیه بودند تا به توالی‌های BM86 ریپی سفالوس میکروپولوس، به‌جزء توالی ADQ19687 گونه میکروپولوس که از کنه‌های جنوب تگزاس آمریکا جدا شده است.

همچنین جهت طراحی واکسن یا سوش واکسینال بر مبنای مرکز درخت (COT-Center of tree) از توالی‌های AJE29931، AJE29932 و ATW75472 استفاده برد.

همچنین بر اساس طول شاخه از جد مشترک (Common ancestor) می‌توان توالی‌های ATW5476، ADM86722، ACZ55133 و AJE29931 را به عنوان کاندیدهای واکسن یا سوش واکسن اجدادی (ANC-Ancestral) معرفی کرد.

استفاده از درخت فیلوژنی و انتخاب نماینده دسته جهت هم‌ردیفی مجدد و به دست آوردن توالی آنتی ژن واکسینال کبرا جهت کاهش bias به سمت خاصی به سبب تکرار برخی توالی‌های جداسازی از یک ناحیه به خصوص و ... است.

سویرایمپوز (برهم نهی، Superimpose) پروتئین‌های اولیه با آنتی ژن‌های کبرا

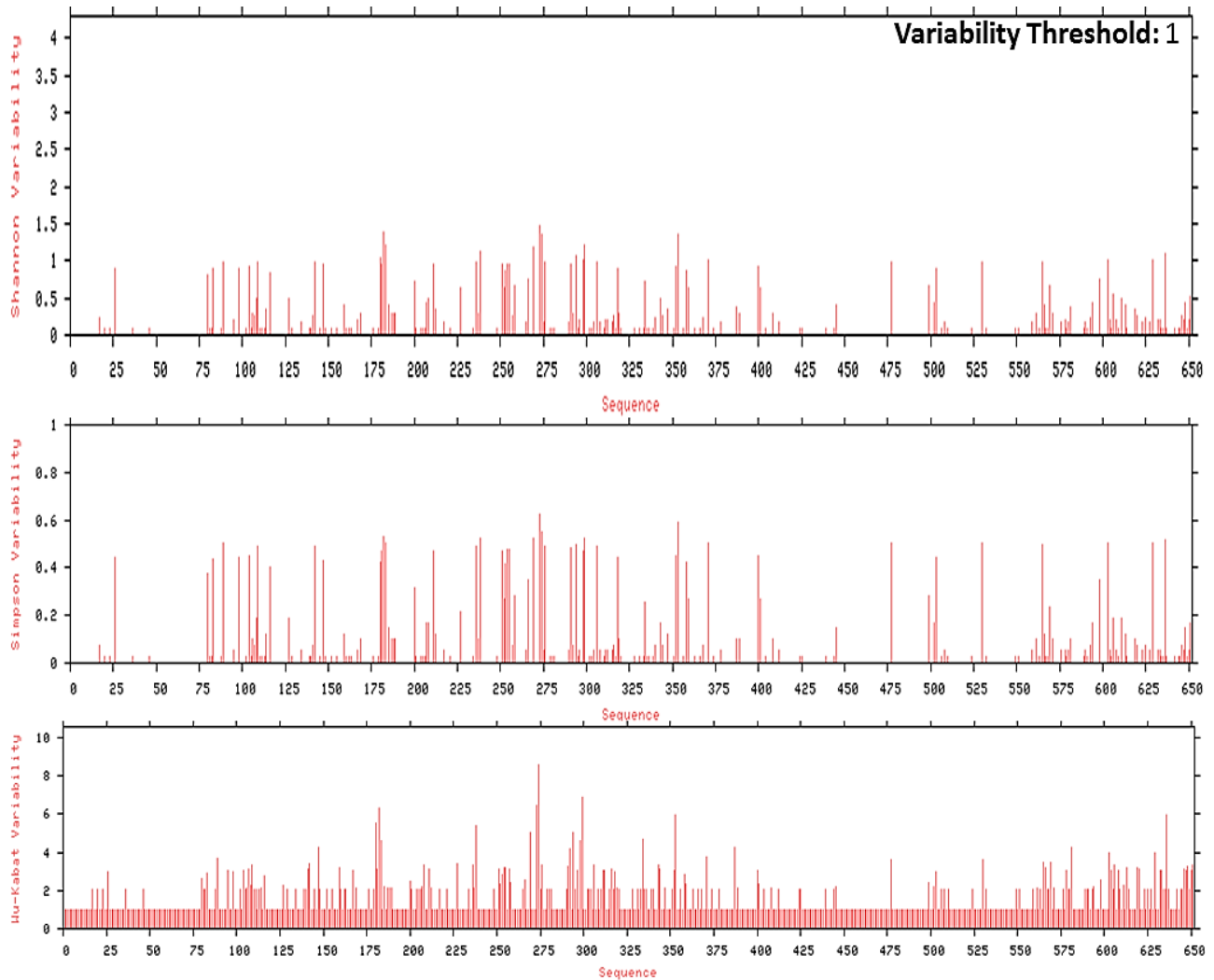
جهت افزایش موفقیت و جلوگیری از مشکلات ساختاری پروتئین طراحی شده، در این مرحله دو ساختار مدل اولیه و ثانویه پروتئین می‌بایست با هم جور شده و مورد هم‌ردیفی فضایی (سه‌بعدی) یا Superimpose قرار گیرند. این امر جهت بررسی واقعی بودن و عدم انحراف پروتئین از ماهیت اصلی و تغییرات فضایی ناخواسته به واسطه تغییر غیرهدفمند توالی از نظر خمش و صاف‌شدگی و زیرساختار دوم آلفا، بتا و کوئل است. از امکانات برنامه Chimera UCSF جهت این امر استفاده شد.

پیشگویی اپی توپ‌های فضایی

در این مرحله اپی توپ‌های فضایی برای پروتئین اولیه و آنتی ژن کبرا با استفاده از سرورهای Ellipro، DiscoTope و BCpro و اپی توپ‌های تکرار شده در چند سرور به‌عنوان اپی توپ‌های نهایی انتخاب شدند.

نتایج

پلات‌های تغییرپذیری یافتن نواحی جهش‌پذیر و محافظت شده در مطالعات حاضر، بر اساس الگوی روش شانون $H > 0.2$ ، $D > 0.6$ در سیمپسون و $variability > 15$ در کابات-وو به‌عنوان مناطق متغیر و مناطق کمتر از این آسته به‌عنوان مناطق نیمه حفاظت شده و محافظت شده فرض می‌شوند (شکل ۱). پلات کابات-وو کمترین حساسیت را داشته و پلات‌های شانون و سیمپسون نتایج نسبتاً مشابه‌تری از تغییرپذیری را به یکدیگر نشان می‌دهند. بر این اساس پروتئین BM86 در دو گونه میکروپولوس و آنولاتوس از کنه ریپی سفالوس، بیشترین تغییرپذیری (Semi hyper variability) در حدود آمینواسیدهای ۱۷۷ تا ۱۸۱، ۲۷۰ تا ۲۷۶ (متغیرترین) و ۳۵۱ تا ۳۵۲ مشاهده گردید. البته به‌طور کلی قسمت‌های متغیر توالی‌ها در دامنه ۷۷ تا ۳۷۴ و ۵۶۰ تا ۶۳۵ و برخی ناحیه‌های منفرد نظیر ۴۰۰، ۴۷۶، ۵۴۹ تا ۵۰۲، ۵۲۸ قرار داشته‌اند. به این نواحی متغیر و ثابت در طراحی واکسن می‌بایست با نگاه ویژه توجه کرد. در واقع نواحی متغیر نواحی چالش‌زایی در ساخت واکسن است که طراحی آنتی ژن



شکل ۱: ترسیم پلات تغییرپذیری با استفاده از روش‌های شانون، سیمپسون و کابات-وو برای پروتئین BM86. محور X شماره آمینواسیدهای پروتئین را مشخص می‌کند و محور Y نمایانگر نتایج آنایز تغییرپذیری پلات شانون، سیمپسون و کابات-وو است

آنولاتوس جهت ساخت واکسن به ترتیب زیر بود:

به دست آوردن آنتی‌ژن مورد توافق واکسن کُبرا

پس از هم‌ردیفی مجدد آنتی‌ژن واکسن کُبرا انتخابی به‌دست

آمده با ترکیب روش حد‌آستانه و اکثریت تکرار برای گونه

>Consensus Seq. *Rhipicephalus annulatus*

MRGIALFVA AVSLIVECTAESSICSDFGNEFCR NAECEV VPGAEDDFVCKCPRDNMYFNAAEKQCE
 YKDTCKTRECSYGRCVESNPSKASCVCEASDDLTLQCKIKNYATDCRNRGGTAKLR TDGIGATCDC
 GEWGAMNK TTRNCVPTTCLRPDLTCKDLCEKNLLQRDSRCCQGWNSPKCSAADS YCSPGSPKGPD
 GQCKDACTKEAGFVCKHGCRSTDKA YEECTCPRGFTVAEDGITCKSIPYTG GCTaEQKQTCRPTEsCR
 VhtGKVLCECPWNQHLVGDK CIGDCVdNKCHEEFTDCGVYMN RQSCYCPWKS RKPGPNVNINECL
 LNEYYYT VSF TPNISLSDSDHCDWYEDRVLEAIRTSIGKEVFKVEILNCTQDIKARLIAEKPLSNHVL R
 KLQCEHPIGEWCMMPKLLIKNSATEIEEENLCDSLLKNQEAA YKGQNKCVKVDNLFWFQCADG
 YTTTTYEMTRGRLRRSVCKAGVSCNENEQLECTNKGQICVYEN GKANCQCPPDTKPGEIGCIERTTC
 NPKEIQECQDKKLECVYKNHKAECKCPDDRECSREPAK DSCSEEDNGK CQSSGQR CVMEN G_nAVC
 KEKSEATTAATATTKAK_nKDPDPGKSSAAAVSATGLLLLLLAATSVTAASL

همچنین توالی انتخابی در هم‌ردیفی مجدد آنتی‌ژن واکسن کبرا انتخابی به دست آمده با روش ترکیبی حد آستانه و اکثریت برای

گونه میکروپولوس به ترتیب زیر بود:

>Consensus Seq. *Rhipicephalus microplus*

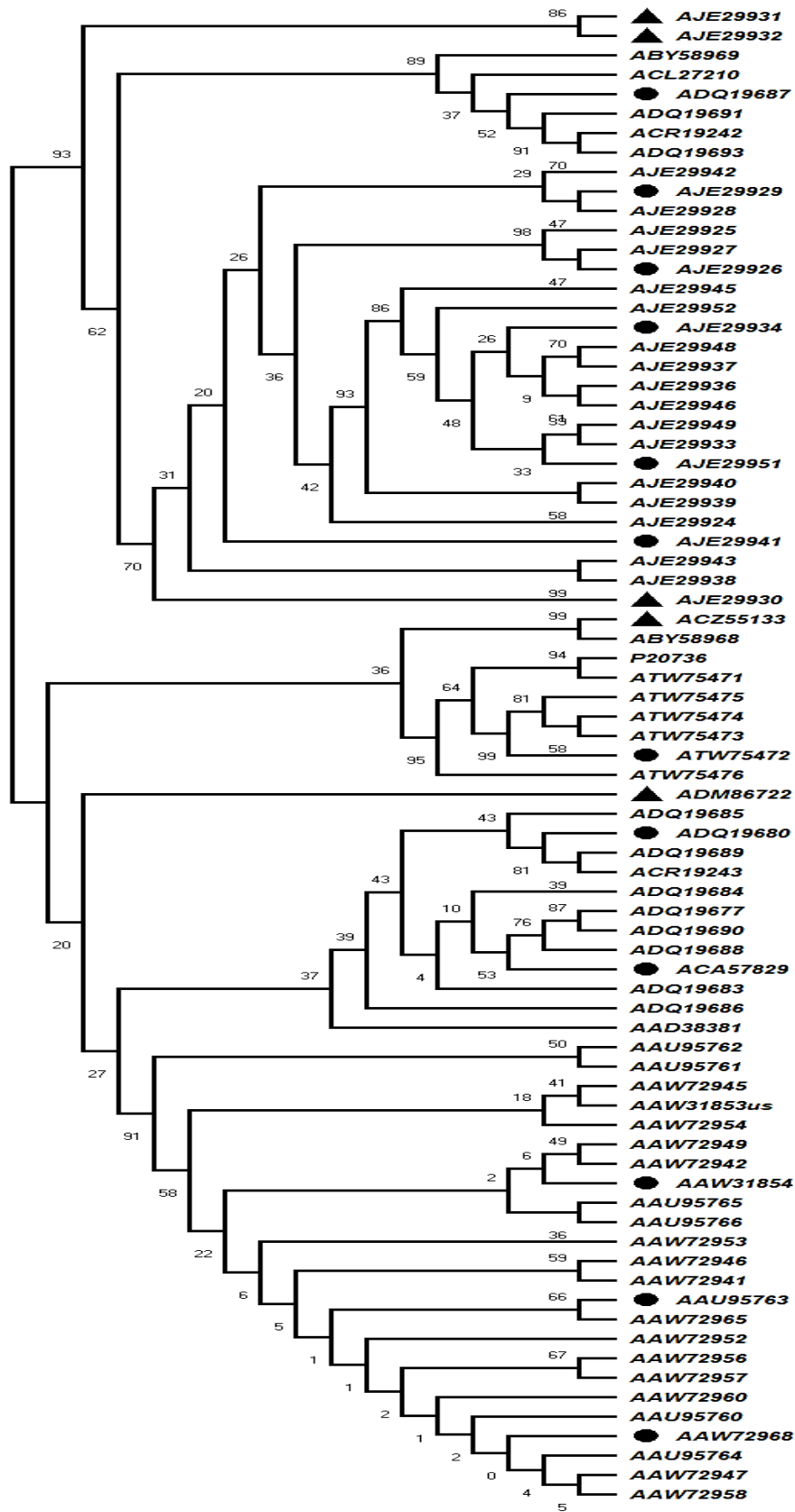
MRGIALFVA AVSLIVECTAESSICSDFGNEFCRNAECEV VPGAEDDFVCKCPRDNMYFNAAEKQCE
YKDTCKTRECSYGrCVeSNPSKaSCVCEASDdLTLQCKIKNDyATDCRNrGGTAKLRTDGFIGATCDC
GEWGAMNkTTRnCVPTTCLRPDLTCKDLCEKNLLQRDSRCCQGWntanCSAAPPADSYCSPGSPKGP
DGQCKNACrTKEAGFVCKHGCRSTDKA YEECTCPGrGfTVAEDGITCKSIstvsCTVEQKQTCRpTEdCR
VqkGtVLCECPWNQHLVGDtCIsDCVdkKCHEEFmDCGVYMNRRQSCyCPWKSrKPGPNVINECLLN
EYYYTVSFTPNISlnSDHCDWYEDRVLEAIRTsIGKEVFKVEILNCTQDIKARLIAEKPLSNHVLRLKQ
ACEHPIGEWCMMYPKLLIKNSATEIEEENL CDSLLKNQEAAYKQGQNKCVKVDNLFWFQCADGYT
TTYEmTRGRLRRSVCKAGVSCNENEQLECA dKGQICVYENKANCQCPPDTKPGEIGcIERTTCNPk
EIQCQDKKLECVYKNHKAECKCPDgHECSREPAKDCSSEEDNGKCQSSGQRCVMENGKAVCKeK
SEATTAATTTTKAKDKDPDPGKSSaAAVSATgLLLLLAATSVTAASL

در آمینواسید ۱۳۹ (NKTT) با سه امتیاز مثبت و ضعیف‌ترین در ناحیه ۳۴۲ (NISL) بود (شکل ۳ الف).

در پروتئین اولیه در یکی از توالی‌های دسته داده نیز پنج ناحیه در N-گلیکوزیلیشن در پروتئین Bm86 ریپی‌سفالوس میکروپولوس وجود داشت که قوی‌ترین در آمینواسید ۱۴۱ (NKTT) با سه امتیاز مثبت و ضعیف‌ترین در ناحیه (NCSA) ۱۸۲، (NISL) ۳۴۸ و (NCTQ) ۳۸۲ بود (شکل ۳ ب).

گلیکوزیلیشن، مدل‌سازی سه‌بعدی و اعتبارسنجی Bm86

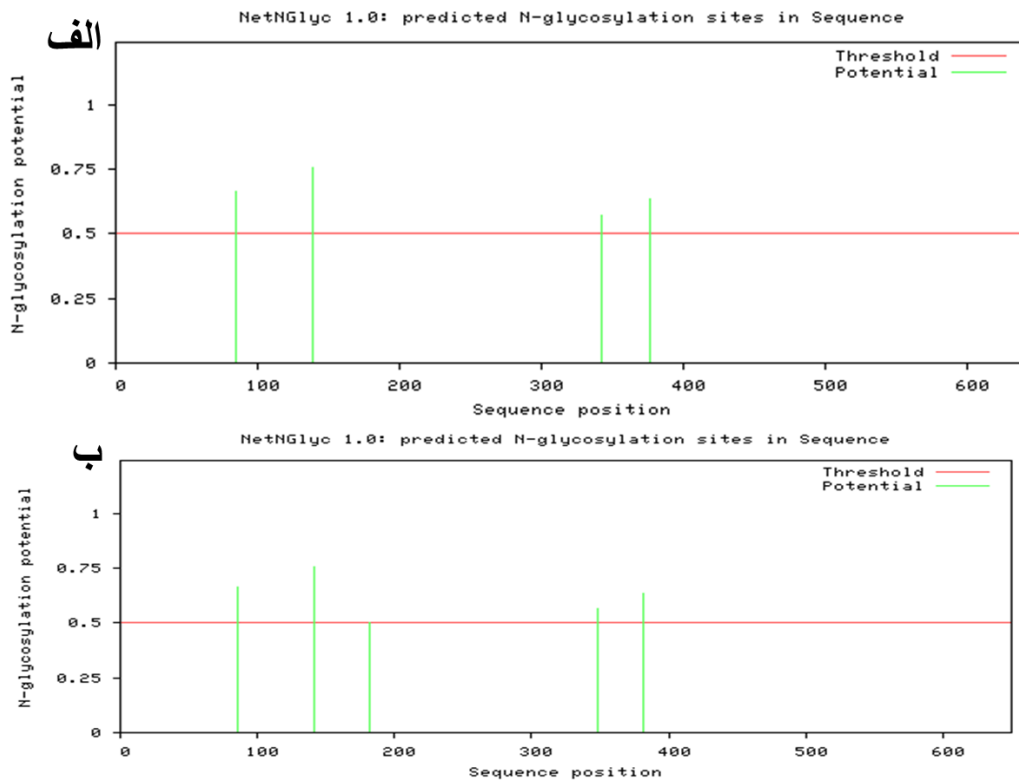
نواحی N-گلیکوزیلیشن با استفاده از امکانات (N-Linked Glycosylation Sites) و NetNGlyc 1.0 Server محاسبه گردید. نتایج در شکل‌های ۳ (الف و ب) ارائه شد. همان‌طور که مشخص است، چهار ناحیه در N-گلیکوزیلیشن آنتی‌ژن کبرا ریپی‌سفالوس آنولاتوس وجود داشته که قوی‌ترین



شکل ۲: آنالیز فیلوژنی مولکولی با به کارگیری روش حداکثر درست‌نمایی (Maximum Likelihood method).

به کارگیری الگوریتم‌های اتصال همسایه (Neighbor-Join) و BioNJ از یک ماتریکس جفتی فاصله‌ای با استفاده از مدل JTT تخمین زده شد و سپس توپولوژی با درست‌نمایی log ارجح‌تر انتخاب شد. ۶۴۸ آمینواسید طول توالی انتخاب شده از ۷۷ توالی در دسته داده جهت ترسیم درخت بود.

تاریخچه تکامل با استناد به روش حداکثر درست‌نمایی مبتنی بر مدل ماتریکس JTT کشیده شده است. درخت واجد log درست‌نمایی حداکثری (۵۳۲۴/۵۹-) به تصویر کشیده شده است. درصد درخت، که به معنی تاکسون‌های مرتبط با هم خوشه‌بندی شده می‌باشد، در نزدیکی شاخه‌ها نشان داده شد. درخت‌های اولیه برای جستجوی heuristic به‌طور خودکار با

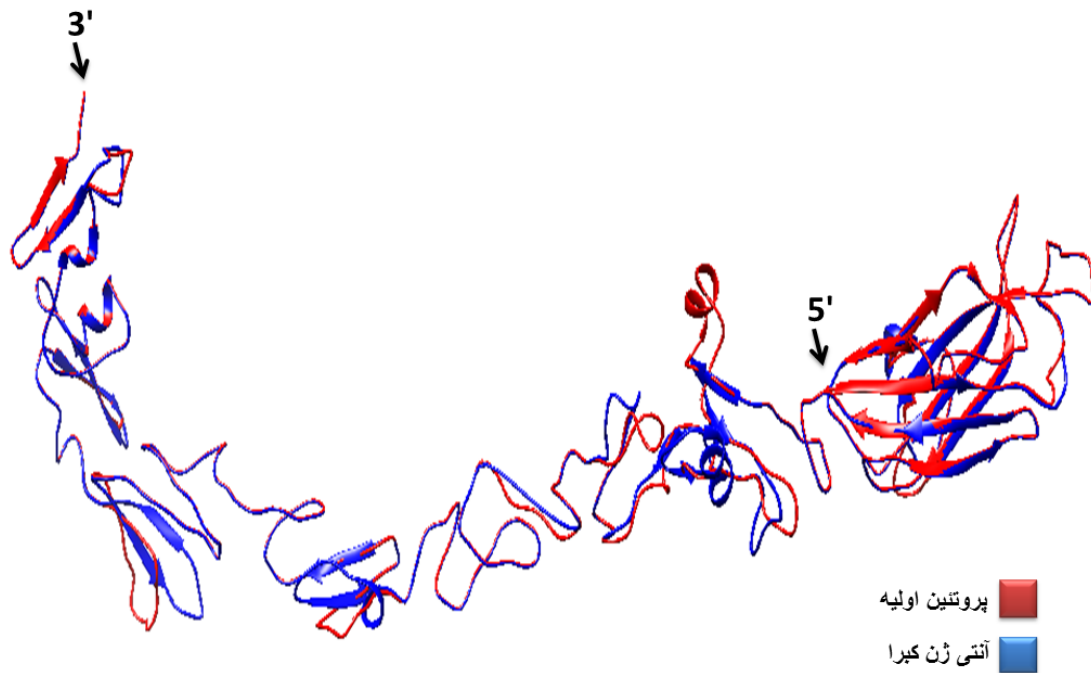


شکل ۳: نتایج آنالیز N-گلیکوزیلیشن آنتی ژن کُبرا ریبی سفالوس آنولاتوس (الف) و میکروپولوس (ب) در منحنی

گرفت. ارزیابی میزان تطابق دو ساختار (و در واقع هم‌ردیفی ساختاری) بر اساس انحراف جذر میانگین مربعات RMSD برای اسکلت اصلی پروتئین (عموماً کربن‌ها) است که هر چه این عدد بر اساس انگستروم کوچک‌تر باشد، نشان‌دهنده نزدیکی بیشتر دو ساختار است. RMSD در مقایسه بین این دو پروتئین ۰/۴ در ۳۳۴ اتم برهم‌نهی شد که نشان می‌دهد با این که تفاوت آمینواسیدی بین این دو پروتئین وجود دارد؛ اما شباهت کلی ساختاری نیز بین آن‌ها حاکم است و ساختار و فولدینگ آنتی ژن واکسن کُبرا قابل اعتماد می‌باشد (شکل ۴).

مدل‌سازی، اعتبارسنجی و سوپرایمپوز ساختار سه‌بعدی پروتئین اولیه و ثانویه کُبرا

پروتئین انتخابی جهت رامچاندران پلات برای پروتئین اولیه ریبی سفالوس میکروپولوس ۹۰/۷٪ موفقیت در مدل‌سازی بود و در مورد آنتی ژن کُبرا ۸۳/۸٪ بود. در هر دو مدل حدود ۶۰٪ آمینواسیدهای با ۱۰۰٪ اطمینان با برنامه Phyre مدل‌سازی شده‌اند. برای جلوگیری از دستیابی به پروتئین غیرطبیعی از نظر ساختار، متفاوت از نظر ساختار کلی با پروتئین اولیه و با فولدها نامتعارف سوپرایمپوز ساختار اولیه و آنتی ژن طراحی و مهندسی شده کُبرا برهم‌نهی (سوپرایمپوز) دو ساختار صورت



شکل ۴: برهم‌نهی (سوپرایمپوز) دو ساختار مدل شده پروتئین اولیه (به رنگ قرمز) ریبی سفالوس میکروپولوس و آنتی ژن کبرا (به رنگ آبی) طراحی شده آن

بحث و نتیجه‌گیری

کنه‌ها به‌عنوان انگل‌های خارجی خون‌خوار انسان، حیوانات اهلی و وحشی شناخته می‌شوند که علاوه بر ایجاد خسارات مستقیم نظیر: کاهش وزن، کم‌خونی، مسمومیت و فلجی، در دام‌های مختلف، قادر به انتقال اجرام بیماری‌زای عفونی (نظیر ویروسی، ریکتزایی و انگلی) به موجودات مختلف می‌باشند. امروزه با توجه به مضرات مصرف مواد شیمیایی، از جمله ایجاد مقاومت و باقی‌مانده‌های سموم، توجه خاصی به واکسیناسیون دام‌ها علیه کنه‌ها معطوف گردیده است [۱۷]. بی‌شک تهیه یک واکسن مناسب در گرو انتخاب پروتئین مناسب و کارا می‌باشد که بتواند به قدر کافی سیستم ایمنی را علیه آلودگی کنه‌ای تحریک نماید [۱۸]. ژنوم کنه *بوفیلوس* جزء نخستین ژنوم‌های کنه‌ای بوده که توالی‌یابی شده و با تکنولوژی‌های نوین تهیه واکسن مورد پایش قرار گرفته است [۱۸، ۱۹]. همچنین پروتئین‌های کنه *بوفیلوس* جهت مصارف مختلف نظیر اهداف ساخت دارو و واکسن مورد توجه تحقیقات بیوانفورماتیک و ایمونوانفورماتیک قرار گرفته‌اند که از آن جمله می‌توان به پروتئین‌های روده‌ای کنه اشاره کرد [۱۸، ۲۰].

نسل واکسن‌های کبرا (به‌عنوان زیرمجموعه‌ای از روش توالی‌های متمرکز شده) سبب تحریک پاسخ آنتی‌بادی قوی، دوام‌پذیر و وسیع‌الطیف به‌عنوان واکسن Universal به

خصوص در مورد پروتئین‌های بسیار متغیر شد و این روش ابتدا برای پروتئین‌های ویروس‌های بسیار متغیر (نظیر آنفولانزا، ایدز و هپاتیت C) معرفی گردید [۲۱، ۲۲]. از این رو در این مطالعه برای اولین بار در پروتئین‌های متغیر انگلی از این تکنولوژی طراحی و مهندسی استفاده شد و برای پروتئین BM82 دو کنه ریبی سفالوس میکروپولوس و آنولاتوس که گونه اخیر بومی ایران است با موفقیت به طراحی آنتی ژن و سوش واکسن نمود. نتایج گلیکوزیلیش حاکی گلیکوزیلیش طبیعی و مناسب پروتئین جهت افزایش ایمونوژنسیته آنتی ژن است.

در مطالعه حاضر از ابزارهای گوناگون و پیشرفته ایمونوانفورماتیک و بیوانفورماتیک مقایسه دو پروتئین یا پروتئین‌ها بر اساس توالی (Sequence)، مستقل از توالی و بر اساس ساختار (Structure) یا بر اساس سایر خصوصیات/ویژگی‌ها (Other properties/features) استفاده گردید. در روش مستقل از توالی و بر اساس ساختار سه‌بعدی پروتئین بر هم‌نهی یا سوپرایمپوز شده و پروتئین‌ها به‌صورت بدنه‌های سخت (Rigid bodies) در نظر گرفته شد و عملکرد امتیازدهی کمی و بهینه‌سازی بر اساس RMSD (فواصل میان اتم‌های باقی‌مانده‌ها) است و تنها باقی‌مانده‌های هم‌ردیف شده جهت برهم‌نهی استفاده می‌شوند [۲۳]. در

[۱۸]. با این وجود تا به حال از روش‌های توالی متمرکز شده و به‌خصوص نسل کبرا جهت طراحی واکسن استفاده نشده است. در کل نتایج این تحقیق می‌تواند سبب توسعه و شناخت واکسن‌های نو ترکیب پیشرفته در مبارزه با اجرام بیماری‌زای انگلی شده و راه‌های نوینی را در استفاده از تکنولوژی‌های جدید بیوانفورماتیک در پیشگیری از بروز بیماری و شناخت سوش‌های واکسینال جهت ساخت واکسن مهیا سازد.

تعارض منافع

این پژوهش توسط موسسه تحقیقات واکسن و سرم سازی رازی حمایت و پشتیبانی گردیده است. همچنین فاقد هر گونه تعارض منافع احتمالی می‌باشد.

References

1. Taheri M, Nabian S, Ranjbar M, Mazaheri Nezhad R, Gerami Sadeghian A, Sazmand A. Study of vitellogenin in Boophilus annulatus tick larvae and its immunological aspects. Trop Biomed 2014;31(3):398-405.
2. Jongejan F, Uilenberg G. The global importance of ticks. Parasitology 2004;129 Suppl:S3-14. doi: 10.1017/S0031182004005967
3. Coumou J, Wagemakers A, Trentelman JJ, Nijhof AM, Hovius JW. Vaccination against Bm86 Homologues in Rabbits Does Not Impair Ixodes ricinus Feeding or Oviposition. PLoS One 2015;10(4):e0123495. doi: 10.1371/journal.pone.0123495.
4. Narasimhan S, Deponte K, Marcantonio N, Liang X, Royce TE, Nelson KF, et al. Immunity against Ixodes scapularis salivary proteins expressed within 24 hours of attachment thwarts tick feeding and impairs Borrelia transmission. PLoS One 2007;2(5):e451. doi:10.1371/journal.pone.0000451
5. Willadsen P, Riding GA, McKenna RV, Kemp DH, Tellam RL, Nielsen JN, et al. Immunologic control of a parasitic arthropod. Identification of a protective antigen from Boophilus microplus. J Immunol 1989;143(4):1346-51.
6. Gough JM, Kemp DH. Localization of a low abundance membrane protein (Bm86) on the gut cells of the cattle tick Boophilus microplus by immunogold labeling. J Parasitol 1993;79(6):900-7. doi: 10.1016/j.ttbdis.2015.06.002
7. de la Fuente J, Almazan C, Canales M, Perez de la Lastra JM, Kocan KM, Willadsen P. A ten-year review of commercial vaccine performance for control of tick infestations on cattle. Anim Health Res Rev 2007;8(1):23-8. doi:10.1017/S1466252307001193
8. Ranjbar MM, Gupta SK, Ghorban K, Nabian S, Sazmand A, Taheri M, et al. Designing and modeling of complex DNA vaccine based on tropomyosin protein of Boophilus genus tick. Appl Biochem Biotechnol 2015;175(1):323-39. doi: 10.1007/s12010-014-1245-z.
9. Ranjbar MM, Ataei Kachooei S, Ahmadi NA, Ghorban K, Motedayen MH, Motamed N. Novel Antibody informatics knowledge in therapeutic-drug discovery and diagnosis. Veterinary Researches & Biological Products 2018;31(1):2-15. doi: 10.22092/vj.2017.110460.1306
10. Giles BM, Ross TM. A computationally optimized broadly reactive antigen (COBRA) based H5N1 VLP vaccine elicits broadly reactive antibodies in mice and ferrets. Vaccine 2011;29(16):3043-54. doi: 10.1016/j.vaccine.2011.01.100.
11. Keyvani H, Ahmadi NA, Ranjbar MM, Ataei Kachooei S, Ghorban K, Dadmanesh M. Immunoinformatics Study of Gp120 of Human Immunodeficiency Virus Type 1 Subtype CRF35_AD Isolated from Iranian Patients. Archives of Clinical Infectious Diseases 2016; 11(4). doi: 10.5812/archcid.36270
12. Wolfert MA, Boons GJ. Adaptive immune activation: glycosylation does matter. Nat Chem Biol. 2013;9(12):776-84. doi: 10.1038/nchembio.1403.
13. Kumar S, Stecher G, Li M, Knyaz C, Tamura K. MEGA X: Molecular Evolutionary Genetics Analysis across Computing Platforms. Mol Biol Evol 2018;35(6):1547-49. doi: 10.1093/molbev/msy096.
14. Altschul SF, Gish W, Miller W, Myers EW, Lipman DJ. Basic local alignment search tool. J Mol Biol 1990;215(3):403-10. doi:10.1016/S0022-2836(05)80360-2
15. Altschul SF, Madden TL, Schaffer AA, Zhang J, Zhang Z, Miller W, et al. Gapped BLAST and PSI-BLAST: a new generation of protein database search programs. Nucleic Acids Res 1997;25(17):3389-402. doi:10.1093/nar/25.17.3389
16. Lovell SC, Davis IW, Arendall WB, de Bakker PI, Word JM, Prisant MG, et al. Structure validation by

Calpha geometry: phi,psi and Cbeta deviation. *Proteins* 2003;50(3):437-50. doi:10.1002/prot.10286

17. Willadsen P. Anti-tick vaccines. *Parasitology*. 2004;129 Suppl:S367-87. doi: 10.1017/S0031182003004657

18. Ranjbar MM, Nabian S, Taheri M, Nikbakhat GR, Nikpei A. Immunoinformatic Survey of Boophilus Tick Tropomyosin Protein. *Journal of Veterinary Research* 2014; 69(4): 335-45.

19. Bellgard MI, Moolhuijzen PM, Guerrero FD, Schibeci D, Rodriguez-Valle M, Peterson DG, et al. CattleTickBase: an integrated Internet-based bioinformatics resource for Rhipicephalus (Boophilus) microplus. *Int J Parasitol* 2012;42(2):161-9. doi: 10.1016/j.ijpara.2011.11.006.

20. Ranjbar MM, Ahmadi NA, Ghorban K, Ghalyanchi Langeroudi A, Dadmanesh M, Amini H-R, Sedighi Moghaddam B. Immunoinformatics: Novel view in understanding of immune system function, databases

and prediction of immunogenic epitopes. *Koomesh* 2015; 17(1): 18-26. Persian

21. Wong TM, Allen JD, Bebin-Blackwell AG, Carter DM, Alefantis T, DiNapoli J, et al. Computationally Optimized Broadly Reactive Hemagglutinin Elicits Hemagglutination Inhibition Antibodies against a Panel of H3N2 Influenza Virus Cocirculating Variants. *J Virol* 2017;91(24). pii: e01581-17. doi: 10.1128/JVI.01581-17.

22. Carter DM, Darby CA, Johnson SK, Carlock MA, Kirchenbaum GA, Allen JD, et al. Elicitation of Protective Antibodies against a Broad Panel of H1N1 Viruses in Ferrets Preimmune to Historical H1N1 Influenza Viruses. *J Virol* 2017;91(24). pii: e01283-17. doi: 10.1128/JVI.01283-17.

23. Kufareva I, Abagyan R. Methods of protein structure comparison. *Methods Mol Biol* 2012;857:231-57. doi: 10.1007/978-1-61779-588-6_10.

Analysis and Professional Designing of COBRA (Computationally Optimized Broadly Reactive Antigen) Vaccine for Bm86 midgut Protein of *R. microplus* and *R. annulatus* Ticks

Ranjbar Mohammad Mehdi^{1*}, Karimi Gholamreza², Ahmadi Naebali³, Yazdansetad Sajjad⁴

• Received: 25 Jan, 2019

• Accepted: 12 May, 2019

Introduction: The cattle tick *Rhipicephalus* spp. causes significant economic losses due to diseases in animals and human. Bm86 is a midgut protein and vaccine candidate, which its sequences among the isolates of *Rhipicephalus* spp are geographically separated, variable, and are the main reason for reducing effectiveness, and subsequently, the failure of the recombinant vaccines.

Method: In this bioinformatics study, the sequences of *R. microplus* and *R. annulatus* were retrieved, aligned, and edited. Then, the variation plot and phylogenetic tree were constructed. Afterwards, grouping and taxa marking for designing evolutionary vaccine, COBRA antigen, center of tree and ancestral were done. Also, over COBRA vaccine sequences, modeling analysis and superimpose test were done.

Results: In both *R. microplus* and *R. annulatus*, the most variable region were residues 177-181, 270-276, and 351-352, respectively. 6 sequences were selected as appropriate sequences for design of evolutionary vaccine, and 12 for the realignment of and achieving sequences for design of COBRA antigen. On the other hand, *R. annulatus* sequences were in sister branches and more similar to each other compared to Bm86 protein sequences in *R. microplus* except ADQ19687. The sequences selected for vaccine design based on the center of tree and ancestral, were AJE29931, AJE29932, and ATW75472, and ATW5476, ADM86722, ACZ55133 sequences, respectively.

Conclusion: Anti-tick COBRA-based vaccines of Bm86 could be more cost-effective and better alternative with broader spectrum, compared to the commonly used recombinant vaccines.

Keywords: *Rhipicephalus*, *Microplus*, *Annulatus*, Vaccine, COBRA

• **Citation:** Ranjbar MM, Karimi GR, Ahmadi N, Yazdansetad S. Analysis and Professional Designing of COBRA (Computationally Optimized Broadly Reactive Antigen) Vaccine for Bm86 midgut Protein of *R. microplus* and *R. annulatus* Ticks. Journal of Health and Biomedical Informatics 2019; 6(2): 140-51. [In Persian]

1. Ph.D in Parasitology, Assistant Professor in Parasitology, Razi Vaccine and Serum Research Institute, Agricultural Research, Education and Extension Organization (AREEO), Karaj, Iran

2. Ph.D in Immunology, Assistant Professor, Razi Vaccine and Serum Research Institute, Agricultural Research, Education and Extension Organization (AREEO), Karaj, Iran

3. Ph.D in Parasitology, Professor, Faculty of Paramedical Sciences, Shahid Beheshti University of Medical Sciences, Tehran, Iran

4. Ph.D in Microbiology, Razi Vaccine and Serum Research Institute, Agricultural Research, Education and Extension Organization (AREEO), Karaj, Iran

*Correspondence: Razi Vaccine and Serum Research Institute, Agricultural Research, Education and Extension Organization (AREEO), Karaj, Iran

• Tel: 026-34570038

• Email: mm.ranjbar.phd@gmail.com